

6-3 拡散電位

熱平衡状態での pn 接合の電子密度 n_{n0} (n 領域) および n_{p0} (p 領域) は、教科書 p.63(4-11)式より

$$n_{n0} = N_c e^{-(E_{cn} - E_{Fn})/kT} \quad \dots(6.2)$$

$$n_{p0} = N_c e^{-(E_{cp} - E_{Fp})/kT} \quad \dots(6.3)$$

両式の比の対数をとると、 $E_F = E_{Fp} = E_{Fn}$ として

$$V_D = \frac{kT}{q} \ln \frac{n_{n0}}{n_{p0}} \quad \dots(6.5)$$

となる。また、飽和領域の条件 (ドナー、アクセプタがイオン化) を考えると、 $n_{n0} \cong N_D$ および $n_{p0} \cong n_i^2/N_A$ の関係から

$$V_D = \frac{kT}{q} \ln \frac{N_A N_D}{n_i^2} \quad \dots(6.8)$$

が得られる。ここで、 N_A および N_D はアクセプタ密度およびドナー密度である。(6.8)式から拡散電位は不純物濃度が高いほど大きくなることわかる。

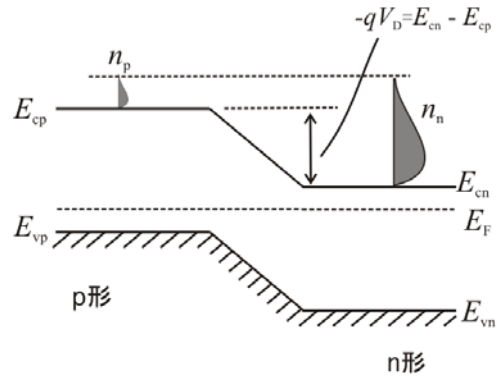


Fig.1 熱平衡状態の pn 接合

6-4 階段接合

階段接合 : pn 境界で不純物濃度が階段状に変化している接合(接合部で不純物がアクセプタからドナーへ急激に変わっている接合)。

階段接合の空乏層の厚さ d および静電容量 C を表す式を導く。解析は一次元モデルを仮定する。

Fig.2 に解析モデルの空間電荷分布および電位を示す。ここで、 N_D および N_A はドナーおよびアクセプタ濃度、 x_n および x_p はそれぞれ空乏層の両端を示す。

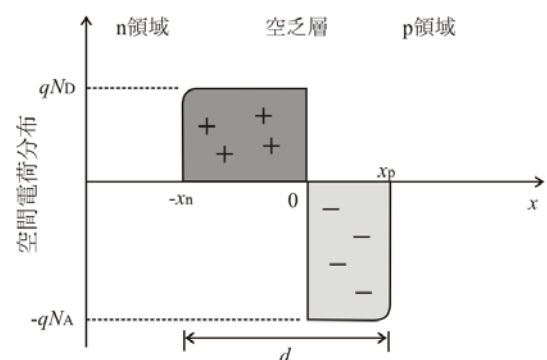


Fig.2 階段接合の電荷分布

ポアソン方程式(Poisson equation)

$$\frac{d^2\phi}{dx^2} = -\frac{\rho(x)}{\epsilon} \quad \dots(6.9)$$

ここで、誘電率 ϵ は $\epsilon = \epsilon_0 \epsilon_s$ である (ϵ_0 は真空の誘電率、 ϵ_s は物質の比誘電率)。各領域で電位 ϕ を求める。

i) $0 \leq x \leq x_p$ の領域

ポアソン方程式より

$$\phi_p = \frac{qN_A}{2\epsilon} x^2 + A_p x + B_p$$

ii) $-x_n \leq x \leq 0$ の領域

$$\phi_n = -\frac{qN_D}{2\epsilon} x^2 + A_n x + B_n$$

iii) $x \leq -x_n$ および $x_p \leq x$ の領域

$$V_D = -(\Phi_p - \Phi_n)$$

各境界での連続の条件より未知定数 A および B を求める。

i) $x=0$ での連続性

$$\varphi_n(0) = \varphi_p(0) \quad \text{および} \quad \frac{d\varphi_n(0)}{dx} = \frac{d\varphi_p(0)}{dx} \quad \text{より} \quad B_n = B_p \equiv B \quad \text{および} \quad A_n = A_p \equiv A \quad \text{となる。}$$

ii) $x=-x_n$ での連続性

$$\varphi_n(-x_n) = \Phi_n \quad \text{および} \quad \frac{d\varphi_n(-x_n)}{dx} = \frac{d\Phi_n}{dx} \quad \text{より} \quad A = -\frac{qN_D}{\varepsilon} x_n \quad \text{となる。}$$

iii) $x=x_p$ での連続性

$$\varphi_p(x_p) = \Phi_p \quad \text{および} \quad \frac{d\varphi_p(x_p)}{dx} = \frac{d\Phi_p}{dx} \quad \text{より} \quad A = -\frac{qN_A}{\varepsilon} x_p \quad \text{となる。}$$

$$\text{ここで、} \quad A = -\frac{qN_D}{\varepsilon} x_n = -\frac{qN_A}{\varepsilon} x_p \quad \text{より、} \quad N_D x_n = N_A x_p \quad \dots(6.13)$$

この式は、空乏層内の正負の電荷量は等しいことを示している。

空乏層の厚さ $d(=x_n+x_p)$ を求める。(6.13)式から x_n および x_p を d で表すと

$$x_n = \frac{N_A}{N_A + N_D} d, \quad x_p = \frac{N_D}{N_A + N_D} d$$

また、p 領域と n 領域の電位差 V_D は

$$V_D = \varphi_n(-x_n) - \varphi_p(x_p) = \frac{q}{2\varepsilon} (N_D \cdot x_n^2 + N_A \cdot x_p^2)$$

であるので、これより空乏層の厚さ d は

$$d = \sqrt{\frac{2\varepsilon(N_D + N_A)}{qN_D N_A}} V_D \quad \dots(6.21)$$

と求められる。この式からわかるように、 d は電位差 V_D の平方根に比例する。

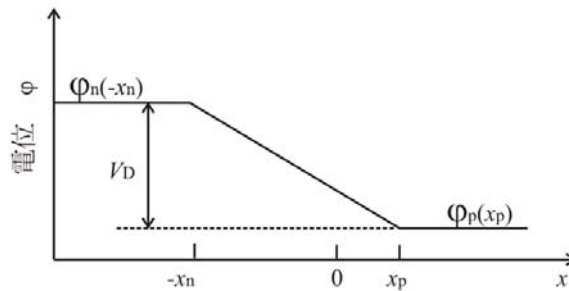


Fig.3 階段接合の電位

空乏層の静電容量

pn 接合に外部電圧(直流)を印加する。電圧の印加方向によって接合付近の状態が異なる。

・ **順方向バイアス状態 :**

p 形側に正電圧、n 形側に負電圧を印加。



p 領域の正孔は電位の低い方(n 領域)へ、
n 領域の電子は電位の高い方(p 領域)へ移動する。
その結果、順バイアス状態では空乏層幅は狭くなる。

順方向バイアス状態

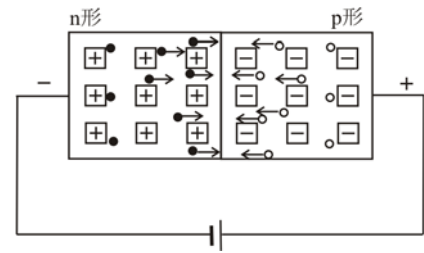


Fig.1 順バイアス状態

・ **逆方向バイアス状態 :**

p 形側に負電圧、n 形側に正電圧を印加。



p 領域の正孔は電位の低い方(-極側)へ、
n 領域の電子は電位の高い方(+極側)へ移動する。
その結果、逆バイアス状態では空乏層幅が広がる。

逆方向バイアス状態

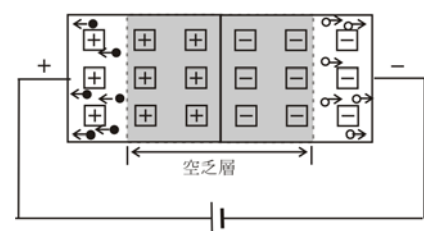


Fig.2 逆バイアス状態

逆バイアス

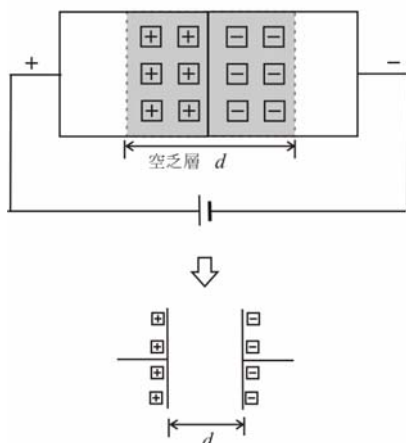


Fig.3 空乏層の静電容量

pn 接合の空乏層には、正負の空間電荷が存在しているので、これを空乏層幅の電極間隔を持つ 2 枚の平板コンデンサ (容量) と見なすことができる。

逆バイアスの電圧の大きさを変化させると空乏層の幅 d が変わるため、空乏層 (コンデンサ) の静電容量 C もまた変化する。

次に空乏層の静電容量 C を表す式を求める。空乏層にたまった単位面積あたりの電荷 Q は

$$Q = q \cdot N_D \cdot x_n = q \cdot N_D \frac{N_A}{N_D + N_A} d$$

$$= \sqrt{\frac{2\epsilon q N_A N_D}{N_D + N_A}} (V_D - V)$$

となる。これより、空乏層の静電容量 C は

$$C = \left| \frac{dQ}{dV} \right| = \sqrt{\frac{\epsilon q N_A N_D}{2(N_D + N_A)} \frac{1}{(V_D - V)}} \quad \dots(6.25)$$

と表される。静電容量 C と空乏層幅 d の積をとると、

$$Cd = \epsilon_r \epsilon_0$$

となる。一方、平板コンデンサの容量(真空中) C_0 は

$$C_0 = \epsilon_0 \frac{S}{d}$$

と表される(S は電極の面積)。上の二式を比べると、 C は物質中の電極の間隔 d の単位面積あたりの静電容量と考えることができる。この静電容量は、**空乏層容量(depletion layer capacitance)**または**接合容量(junction capacitance)**と呼ばれる。

(6.24)および(6.25)式から、逆バイアス電圧 $-V$ が大きくなると空乏層幅 d は広がり、容量 C は小さくなることが分かる。

容量 C と外部電圧 V の関係を考えて

$$\frac{1}{C^2} = \frac{2(N_D + N_A)}{\epsilon q N_D N_A} (V_D - V) \quad \dots(6.26)$$

となり、 $1/C^2$ と V の関係は Fig.5 のようになる。すなわち、特性直線を $1/C^2 = 0$ まで伸ばす(外挿という)と、そのときの電圧値が拡散電位となる。

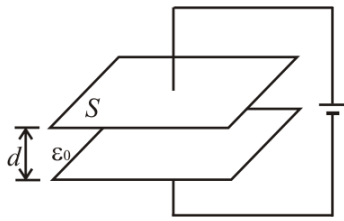


Fig.4 平板コンデンサ

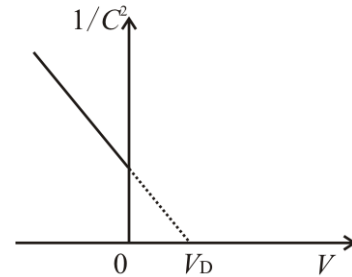


Fig.5 電圧-容量特性